

バッファ制御を考慮した
パケット網のトラヒック特性
日本電信電話公社 武蔵野電気通信研究所
野村雅行 伊藤剛 平田昭生

1. まえがき

最近、国内外にあいてパケット交換網に対する関心が高まつてあり、ARPA(米)、Telenet(米)、TRANSPAC(仏)、DATAPAC(カナダ)、EPSS(英)等の稼動中あるいは計画中のパケット交換網が多い。当研究所においても、その研究を進めており、DDX-1室内実験を経て DDX-2 実験を実施中である。本論文は、その検討の一部を紹介するものである。

パケット交換はデータ転送中にても交換機が関与する蓄積交換の一種である。しかもデータ高速端末から低速端末へ無制限にデータを転送すると、低速端末を収容する交換機にパケットが滞留し、バッファ不足による輻輳を引起する危険がある。これに対する方法として計算機対応に交換機バッファを割当て、その数を越えた場合はパケットを廃棄する方法を検討した。

本論文では、このバッファ割当方式について、端末のトラヒック及び割当バッファ量をパラメータとし、網のスループット、パケット伝送遅延時間、廃棄率等の網のトラヒック特性を求めた。

2. バッファ割当て方式

本論文の検討においては次の点を前提に議論を進める。

- (1) 網に接続される端末は全て計算機端末である。以下計算機端末をホストと呼ぶ。
- (2) フロー制御(注1)はホスト間で行なわれることを前提とし、交換機は削除しない。網は異常トラヒックに対するガードのみを考慮する。

以上を前提とし、網の異常トラヒックに対する対処方法として次の「共通バッファ方式」及び「バッファ割当方式」を考える。

[共通バッファ方式]

交換網の全バッファを共通とし、ホストに対し使用制限を設けない。交換機の全バッファが使用中になればホストからの入力を拒否する。

[バッファ割当て方式]

1ホストが使用できる交換機バッファの数を制限する。制限数を越えた場合は、越えた分に該当するパケットを廃棄する。

この2方式の定性的評価を表2.1に示す。また網への入力に対するスループット(処理能力)特性の解析を付録に示す。表2.1及び付録より次の点が明らかとなる。

(注1) 通信する2端末において送信側が受信可能速度を越えないよう速度制限する。これをフロー制御のようす、ホスト間にありて取次める通信に関する規約をホスト・ホストプロトコルと呼んでいる。

(注2) 単位時間に処理できるパケット数

- (1) 本スト間のフロー制御が十分に行なわれない場合、交換機内にパケットが蓄積されることがあることはないが、バッファ使用効率の点で共通バッファ方式が有利である。
- (2) 本スト間のフロー制御が不十分な通信があれば、網のスルーフィットが下り、他ストの通信が阻害されることがある(付図4)。

以上の点から網のスルーフィットを安全に維持するためにはバッファ割当て方式が必要である。以下の3章において、このバッファ割当て方式について解析する。

表 2-1 バッファ管理手法

比較項目 方 式	共通バッファ方式	バッファ割当て方式
バッファ使用効率	全端末で共通に使用するので 使用効率大	端末にバッファ数を固定的に割当 すため、分割損があり、使用効率 は共通バッファ方式よりも低い。
交換機処理	特別な処理は不要。交換機の 全バッファが使用中に亘り正規 パケットの受け入れを拒否する。	端末に対する出力干渉・長時間監視 処理が必要なので、交換処理 が複雑である。
異常トラヒック に対する耐力	障害等によるリスト間のフロー 制御が十分に行なわれない 本ストがあると、交換機バッ ファが占有され、交換機スル ーフィットの低下、他ストの 通信の阻害が発生する。	交換機のバッファが端末対応に割当 されない点でのバッファネットによる スルーフィットの低下はない。

3. バッファ割当て方式の特性。

バッファ割当て方式では、パケットの廃棄がパケットの再送を招き、再送の増加による計算機の通信処理の増加や伝送遅延時間（パケットが計算機から送信され計算機に受信されるまでの時間）の増加を生じる。そこでバッファ割当て方式の廃棄率、再送回数、伝送遅延時間などの諸特性を明確にする。

3.1 モデル化と定式化。

バッファ割当て方式のモデルを図3.1のプロセスの入力が、ボアソン分布で、受信交換機で廃棄されたパケットが、網制御プロトコルで再送されるとして考える。

すると時刻tにおける再送を含む送信トラヒック密度入(t)について以下の式が成立する。

$$\text{入}(t) = \int_0^t P_m(t-u) \text{入}(t-u) h(u) du + a(t)$$

$$\frac{d}{dt} P_0(t) = \mu(t) P_1(t) - \lambda(t) P_0(t)$$

$$\frac{d}{dt} P_i(t) = \mu(t) P_{i+1}(t)$$

$$-(\lambda(t) + \mu(t)) P_i(t) + \lambda(t) P_{i-1}(t) \quad (i=1, \dots, m-1)$$

$$\frac{d}{dt} P_m(t) = \lambda(t) P_{m-1}(t) - \mu(t) P_m(t)$$

ここで $P_i(t)$ は、時刻tにおいて交換機内に i パケット滞留している確率である。以上の式の平衡状態における解を表3.1に示す。

3.2 主な特性。

割当バッファ数、廃棄率、スルーポート、伝送遅延時間の諸量の関係をグラフにまとめ、以下に考察する。

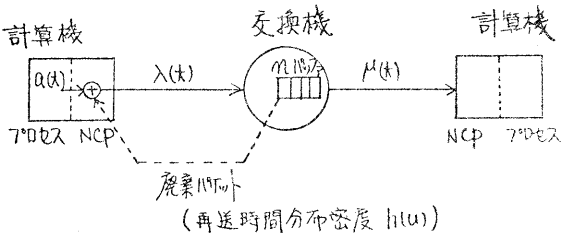


図3.1 廃棄の効果をもつトラヒックモデル

$\lambda(t)$: 時刻tにパケットの到着する確率密度。

$a(t)$: 時刻tにプロセスからNCPへパケット送信要求の出る確率密度。ここでは、ボアソン分布を仮定するので一定である。すなわち $a(t) = a$ である。

$\mu(t)$: 時刻tに交換機から計算機が、パケットを受信終了する確率密度。ここでは、パケット受信時間分布を指数分布とするので $\mu(t) = \mu$ 一定である。

n : 交換機内の計算機割当てバッファ数。

$h(u)$: 交換機に廃棄されたパケットが、再送されて来るまでの再送時間分布。ここでは、 $h(u) du = \alpha e^{-\alpha u} du$ とする。

また再送時間は、各パケット毎に独立とする。

表3.1 バッファ割当て方式の主な特性

項目	算出式	内容
廃棄率	$P_n = \lambda^n (\mu - \lambda) / (\mu^{m+1} - \lambda^{m+1})$	専用線の場合のパケット誤り率に相当。
平均プロセス送信速度	$\alpha = (1 - P_n) \lambda$	計算機の実質的なパケット送信速度。
平均再送回数	$P_m / (1 - P_m)$	計算機の通信処理の増加分。
平均伝送遅延時間	$\frac{M}{\mu} + \frac{P_m}{(1 - P_m) \alpha}$	サービス品質、並行計算機の並列度。
受信回線平均使用率	$1 - P_0$	回線の利用度。
平均有効スループット	$(1 - P_m) \alpha$	再送なしに受信計算機へ届くパケット量。

但し、入: 平均計算機送信速度 (送信回線速度)

μ : 平均計算機受信速度 (受信回線速度)

M: 交換機内平均送信

待ち行列長

$1/\alpha$: 平均再送時間

[プロセス送信速度と計算機送信速度]

プロセス送信速度（プロセスが実質的に送信しようとする送信速度）を α (PKT/s) とし、計算機送信速度を廃棄パケットの再送パケットも含む速度 β (PKT/s) とすると、プロセス送信速度の増大とともに、計算機送信速度は、再送パケットのため急増すると考えられる。図3.2にその様子を示す。またプロセス送信速度 α と計算機送信速度 β の間には、 $\beta = (1 - P_m)\alpha$ の関係がある（ $P_m = 1/(m+1)$ だからプロセス送信速度は、 $\alpha = m \cdot \beta / (m+1)$ となる）。ただし割当てバッファ数である。

一方計算機送信速度は、送信回線速度以下に物理的に抑えられるので、上の結果から、例えば r (PKT/s) の同速度回線をもつ計算機間で通信する場合の最大プロセススループットは、割当てバッファ数が、 m バッファの時には、 $m \cdot r / (m+1)$ (PKT/s) である。

[再送回数と計算機送信速度]

計算機送信速度が増大すると、廃棄率が高くなり再送回数も増加する。この増加は、計算機通信処理の増大を意味する。 (BUF)
図3.3に計算機送信速度と再送回数の関係を示す。図から送信速度が受信速度以上になると割当てバッファの多少にかかわらず $R = k/m - 1$ に急速に漸近し、計算機の再送処理が急増する。

[廃棄率と割当てバッファ数]

パケット網を使用する計算機システムのアドリケーション毎に廃棄率に対する要求が異なると考えられる。そこで計算機送受信速度比と割当てバッファ数の関係を図3.4に示す。

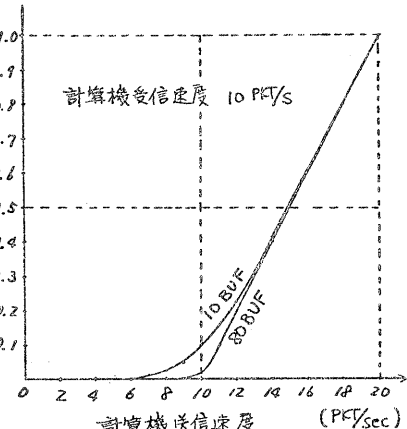


図3.3 平均再送回数と計算機送信速度

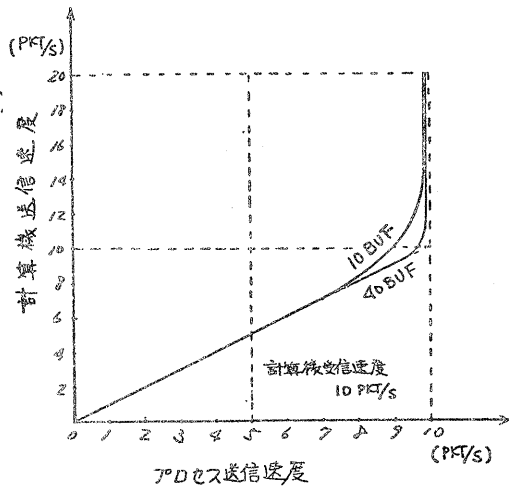


図3.2 プロセス送信速度と計算機送信速度

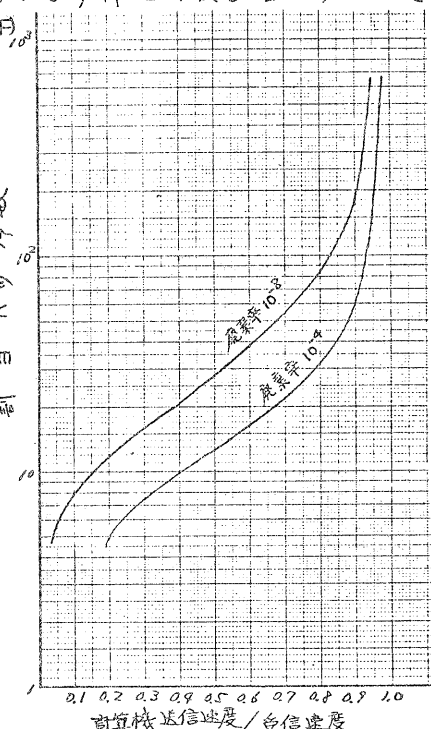


図3.4 廃棄率一定時の計算機送受信速度と割当てバッファ数

この図3.4から計算機は、自分のシステムに合った割当てバッファ数と送受信速度比を得ることが可能である。一元、受信交換機での計算機に割当てるとの出来るバッファ量は、最大100バッファ程度と考えられる。そこで、廃棄率を 10^{-8} 程度に抑えるためには、計算機送信速度を受信速度の80%程度に抑える必要がある。

[計算機間伝送遅延時間]

計算機間の伝送遅延時間はパケットが網内に最初に送信されてから、受信計算機に受信されるまでの時間と定義すると、それは受信交換機に受信されるまでの再送中時間と交換機内の待ち時間である。交換機内送信待ち時間の和である。そこで再送中時間および交換機内送信待ち時間について検討する。

① 再送中時間。

パケットが何回か再送を繰り返し廃棄されずに交換機内に受信されるまでの時間が再送中時間である。そこで再送なしに交換機に受信された場合、再送中時間は、0である。平均再送中時間は、 $P_m/(1-P_m)$ で計算されるが、 $P_m/(1-P_m)$ は平均再送回数であり、割当てバッファ数の増大とともに減少することが、図3.3から明らかである。そこで平均再送中時間は、割当てバッファ数の増大とともに減少する。

② 交換機内送信待ち時間。

交換機内平均送信待ち時間は、Littleの定理から平均送信待ち行列長に比例すると考えられる。そこで図3.5の計算機送信速度と平均送信待ち行列長の関係から割当てバッファ数の増大にしたがって、平均送信待ち行列長も増加し、計算機送信速度比の大きい範囲では、著しく増加する。そこで、送信待ち時間につけても、割当てバッファ数の増大にしたがって、平均送信待ち時間も増加する。

割当てバッファ数と諸量の関係をまとめると図3.6のようになる。図3.7に平均伝送遅延時間と割当てバッファ数の関係を示す。図3.7で特徴的なことは、再送時間が短い場合、最小の伝送遅延を与える割当てバッファ量が存在することである。また、パケットの遅延時間は問題にするような計算機システムでは、パケットの廃棄を少なくするために、割当てバッファ量を増加すると、伝送遅延時間が増加することがあり注意を要する。

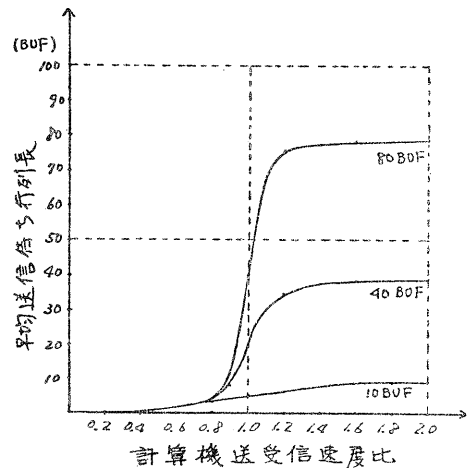


図3.5 計算機送受信速度比と平均送信待ち行列長

図3.6 割当てバッファ数と伝送遅延の関係。

割当てバッファ数	10 BUF	小	大	80 BUF
交換機内送信待ち時間	0.4 sec	小	大	0.88 sec
廃棄率	10^{-1}	大	小	10^{-5}
再送回数	0.1 回	大	小	0 回
再送中時間	0.1 sec	大	小	0 sec
伝送遅延時間	0.5 sec	小	大	0.88 sec

但し 平均計算機入力 9 PTF/sec

平均計算機出力 10 PTF/sec

平均再送時間 1 sec

3.3 まとめ

(1) 送信抑圧パケットの必要性。

バッファ割当て方式は、網が規定する網・ホストプロトコル内にフレーム制御パケットがなく、計算機・交換機両者の負荷が軽いが、計算機送信速度が受信速度以上になると、発生率の増大によって網、計算機の処理負荷が増大する。しかし、その状態では、図3.8 も示されるように、受信回線使用率は定常状態に達するため、受信速度以上に計算機送信速度を上げる意味は薄い。そこで、ホスト・ホストプロトコルで適正な制御がなされ、無効なトラヒックの生じない網では、網・ホストプロトコルの負荷が軽く、アプリケーション毎にホスト・ホストプロトコルの設計が自由に出来るバッファ割当て方式が良い。しかし、ホスト・ホストプロトコルの適正な動作が期待出来ない網では、ある一定以上のトラヒックが生じた場合、交換機から送信抑圧(WABT)パケットをホストへ送信して、パケットの送信を抑止するような制御が必要となる。

(2) 発生率の計算機へ与える影響。

① 計算機通信処理負荷の増加。

再送回数と計算機送信速度の検討から計算機送信速度を受信速度以下に抑えれば、割当てバッファが10以上ならば、10%以下の増加である。

② 伝送遅延時間の増加。

1パケット当たりの再送回数と比例して増加するが、計算機送信速度が受信速度を越えない限り、割当てバッファが10バッファ以上あれば、再送時間の10%以内の増加である。

③ プロセス送信速度。

再送パケットのためプロセス送信速度は、送信回線速度まで上昇させるることは出来ないが、プロセス送信速度と計算機送信速度の検討から、送受信回線速度が同じ場合には、最大プロセス送信速度は、 $m r / (m+1)$ である。ここで、 r ：回線速度、 m ：割当てバッファ数。

(3) 割当てバッファ数の決定。

割当てバッファ数を決定する要素には、発生率と伝送遅延時間が考えられる。希望する伝送遅延時間を得るために必要な割当てバッファ数を図3.7が

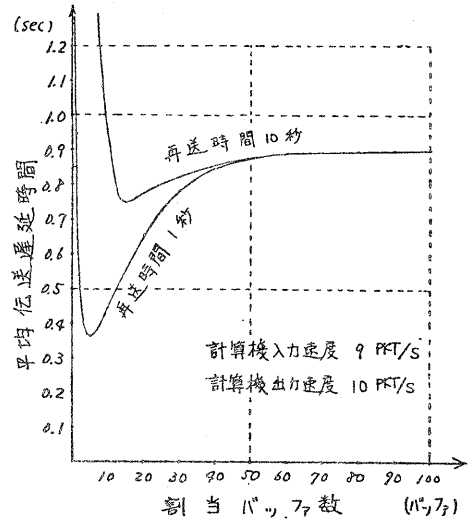


図3.7 割当てバッファ数と平均伝送遅延時間

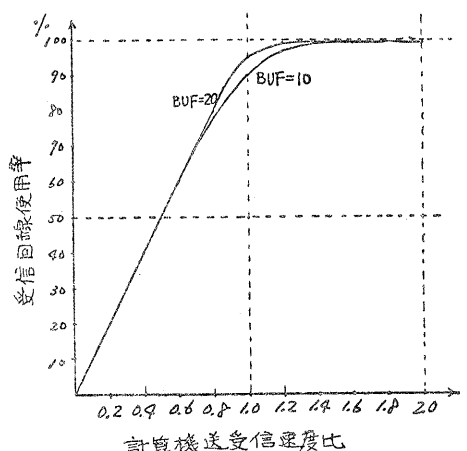


図3.8 計算機送受信速度比と受信回線使用率

う得られる。また、図3.4から希望する廃棄率を得るために必要な最大計算機送受比が、伝送遅延時間により定まる割当てバッファから決定される。

4. バッファ割当方式とホスト間フロー制御

前章においてはホスト-ホストプロトコルを設計するための諸特性を序め下。本章ではバッファ割当方式に関するホスト側のフロー制御手法について述べる。

4.1 ホスト間フロー制御方式

(1) 統計的設計

ホストに到着するパケットの率(パケット/秒)とホスト受信可能速度 r を交換機のパケットバッファの同時保留数を基準し、廃棄率を見込んで割当バッファを契約する。

(2) 呼応応答方式

相手端末からの確認応答無しに送信することとするパケットの数を認め、無制限に交換網へ入力しないよう制御する(図4.1)。この送信可能な数をワイドサイズと呼んでいる。図4.2にワイドサイズを w とした場合のシーケンスを示す。ワイドサイズは呼を設定する際に相手端末との間で決定される。特徴として次の点が挙げられる。

- ・通信中の呼に関するワイドサイズの和の数 w を交換機にバッファを予約すればパケットの廃棄を非常に少くすることができます。
- ・着呼が多い場合はホスト内バッファと交換機内のバッファと対応バッファないのではパケット廃棄が増える危険がある。したがって着呼を見込んで、多く交換機バッファを契約するが、あるいは交換機において割当バッファと着呼用バッファを別管理とする必要がある。
- ・1呼あたりのデータパケット数が非常に多い場合には有効な方法である。

(3) ホスト対応ワイド方式

通信相手が閉域グループにより限定されている場合にはホスト対応ワイドサイズを決定し、制御することが考えられる。図4.3に例を示す。図におけるAは3台のホスト(A, B, C)の閉域を構成しており、B及びCからAへの送信制御方法を示す。B及びCのホストは各プロセスごとに通常のワイドを設け、信号パケット、データパケットを一括してフロー制御する。

特徴として次の点が挙げられる。

- ・ホストAは交換機内の割当バッファ N を $w_C + w_B$ 契約すれば廃棄は避けられる。
- ・閉域の前提であるので一般不特定のユーザを相手にするホストには適用不可である。

4.2 ホスト間フロー制御に関する考察

- (1) 閉域を前提とすればホスト対応ワイド方式が最もよいと思われる。データサイズの和を交換機内に契約すれば消失のない確実なデータ転送ができる。

(2) 会話形通信が多い場合は統計的な設計が十分である。またファイルトランシスタと混在する場合は、ファイルトランシスタに呼対応ウインド方式を適用して一 定以上のバッファ保留在起らぬよう考慮し、残りのバッファで会話通信を処理するより考慮する必要がある。

(3) 呼対応ウインド方式は着呼パケットに対しても対応がつかないのを、その分の増加を見積って割りバッファを契約する必要がある。しかし急激な着呼び増加も考えられ、それによる発生の確率は残るところ。

(4) 交換機は本スト問のフロー制御信号を見つからないので相手ホストがフロー制御を無視してパケットを送りこみた場合、他の正規なパケットまで発生する危険がある。したがって最終的には網がフロー制御に関与する必要が生じる可能性がある。

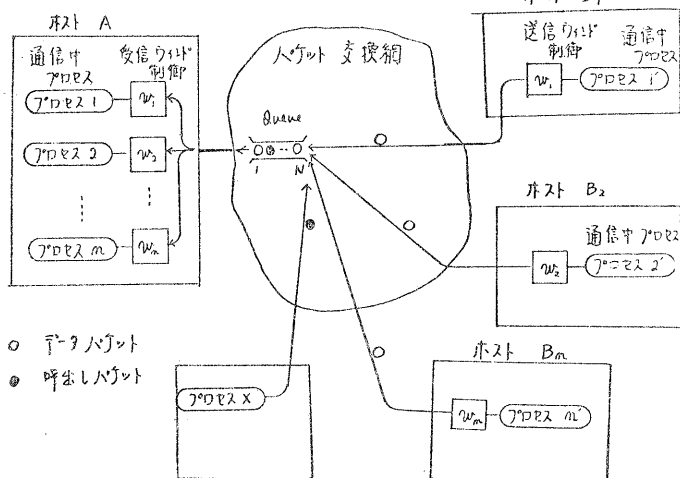
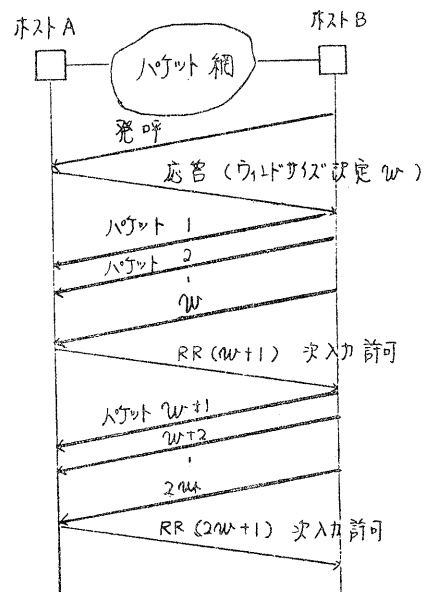


図 4.1 呼対応 ウィンド制御



w : ウィンドサイズ。確認応答無しに連続に送信できるパケット数
RR(w+1) : w番目までのパケットの確認

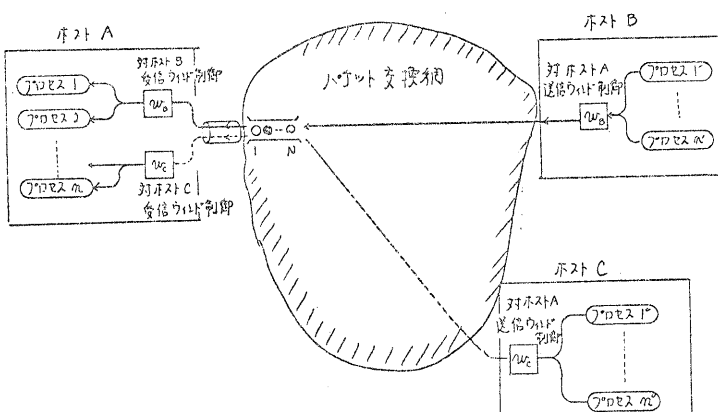


図 4.2 呼対応 ウィンド方式
エーテルス例

図 4.3 計算機対応ウインド方式

5. あとがき

本論文ではパケット交換網としてバッファ割当方式を採用した場合に FIFO ト ラヒック特性の解釈及びホスト間フロー制御の対策を述べた。

ユーヤのフロー制御に対する要件条件は不明であるので、ユーヤのプログラム 設計の自由度と網の輻輳防止に注目し、イレタフェースが簡単明瞭であるバッファ 割当方式に FIFO を参考したが、3章及び5章の検討で示すようにホスト間のフロー 制御を適当に選ぶことより効率より、パケット消失の少ないパケット伝送 も可能と思われる。

しかししながら一般公衆網を前提にした場合、再送によるオーバヘッドの増加 あるいはホスト障害時にあける廃棄率の増加は問題であるので、今後、如何なるフロー制御信号を用いてホスト間のフロー制御に介在するか、検討の必要がある。

謝辞

終りに本検討にあたって御指導、御協力頂いた関係各位に深く感謝いたします。

参考文献

- (1) Little, J.D.C. : A proof of the queuing formula: $L = \lambda W$, Operations Research Soc. Am., vol. 9, pp. 383 - 387, 1961
- (2) 伊藤, 他 : パケット交換網におけるフロー制御について, 電子通信学会全国大会, 1975
- (3) M. Irland : Queuing analysis of a buffer allocation scheme for a packet switch, IEEE, Dec. 1975
- (4) 伊藤, 他 : パケット交換制御方式の検討, 電子通信学会交換研究会 SE76-8, 1976

(付録) 芸術バッファ方式とバッファ割当方式のスループット

フロー制御を行なわない場合のホスト単位のバッファ割当の必要性は FIFO は付図 1 のようなモデルで考える。このモデルでは芸術とバッファを使用する部分とホスト単位の割当バッファ部分があり、芸術バッファ部分が全交換機バッファと等しい時が芸術バッファ方式である。交換機の平衡状態を表わすためにはベクトル記法を導入する。

交換機内の第 i 方路の送信待行列長が x_i であることをベクトル $\mathbf{x} = (x_1, \dots, x_m)$ で表し、単位ベクトルを e_i で表わすとバッファ割当方式に関する制約条件は以下である。

$$S = \left\{ (\mathbf{x}_1, \dots, \mathbf{x}_m) \mid \sum_{i=1}^m [(x_i - n_i), 0]^+ \leq m_0 \right\}$$

$$[a, b]^+ = \max(a, b)$$

ここで n_i は j 方路割当バッファ、 m_0 は芸術バッファである。以上の記法によ り交換機内に j 方路送信待パケットが x_i 存在する状態を $S(\mathbf{x})$ と表わし、その

状態確率を $P(X)$ とすれば、状態方程式は次のようになる。

$$\sum_{x-e_i \in S} [P(x - e_i) \cdot a_i - P(x) \cdot b_i] + \sum_{x+e_i \in S} [P(x + e_i) \cdot b_i - P(x) \cdot a_i] = 0 \quad \text{for } x \in S$$

$$\sum_{x \in S} P(x) = 1$$

この方程式の解は以下のようになる。

$$P(x) = C \prod_{i=1}^m p_i^{x_i} \quad p_i = \frac{a_i}{b_i}$$

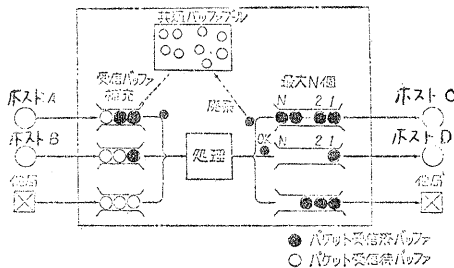
$$C = \frac{1}{\sum_{x \in S} \prod_{i=1}^m p_i^{x_i}}$$

具体的なモデルにつけ、両方式の比較を行なう(付図2)。交換機バッファ数は10とし、バッファ割当方式では、割当数をホストB,Dに各々バッファ割当2、2バッファを共通バッファとする。ホストA,B間はトラヒック一定としホストC,D間のトラヒックを変化させた場合の交換機スルーフィット、A-B間のスルーフィットは付図3のようになる。

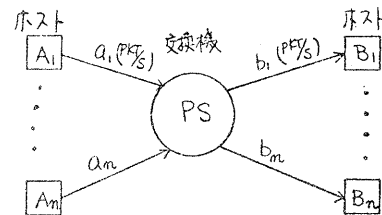
付図3では共通バッファ方式のスルーフィットが過負荷時に低下し、バッファ割当方式の場合、低下しない。理由は共通バッファ方式ではC-D間トラヒックが交換機バッファP全部使用され、A-B間の通信が妨害されるためである。

この結果からフロー制御を行なわない場合ホスト毎ドバイシフタを割当てるバッファ割当方式を採用する必要がある。付図4にバッファ割当方式の具体的な制御方式を述べる。

同様の結果は参考文献[3]にも報告されている。

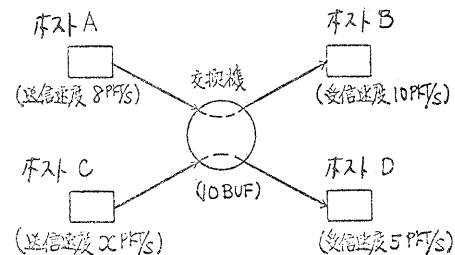


付図4 バッファ割当方式

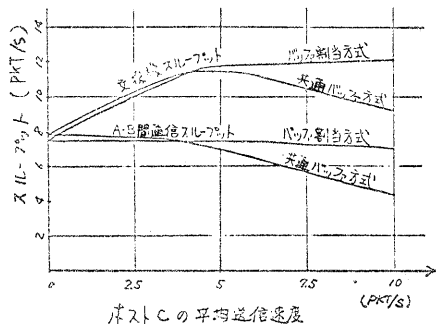


- ① ホスト A_i から ホスト B_i へ 平均 $a_i(\text{PKT/s})$ の ポアソン分布で パケットを送信する。
- ② ホスト B_i の パケット受信時間は 平均 $1/b_i(\text{sec})$ の 指数分布に従う。
- ③ 交換機内の パッケット管理は、以下の通り。
ホスト B_i に対して m_i パッケットの割当パッケット。
共通 パッケット として m_0 パッケット。
交換機全 パッケット数 $N = \sum_{i=0}^n m_i$

付図1 パッケット管理交換機モデル



付図2 簡単なトラヒックモデル



付図3 バッファ割当方式のスルーフィット